

京都大学大学院 学生員 松元利徳  
 京都大学工学部 正員 春名攻  
 京都大学工学部 正員 吉川和広

## [1] はじめに

航空貨物の地上端末輸送の合理化を目的として都市内あるいは都市周辺部に空港と分離して設けられる貨物ターミナルのことを航空貨物シティ・ターミナル(ACCCT)と呼ぶが、本研究の目的は、このACCCTを中心とした航空輸送関係の公共ターミナルの立地を決定するのに必要な情報を目標計画法を用いたモデル分析によって求めることである。

ここでは航空貨物輸送の合理化の程度を目標の制約化；本研究における各計画目標間の関係をはかる尺度として「総輸送費用」「総輸送時間」「トラック」字型効用閾数の形で規定すると次のように定式化され延走行台キロ」「延手続き時間」の4つを取りあげ、これる。

の低減を計画目標として、その達成度をACCCTが建設されない場合と各候補地点にACCCTが建設された場合について求め、その比較を通じてACCCT建設の効果各候補地の優劣およびACCCTの利用率(全航空貨物量に対するACCCTを経由する航空貨物の比率)を調べることとした。(ACCCTの立地において考慮すべき建設費については別に検討を加える)そこで本研究では次の2つのモデルを提案した。モデル1は空港での取扱いが不可欠なもの除去してすべての航空貨物がACCCTを経由すると仮定したものである。モデル2はこの仮定を除いたもので、ACCCTを経由する貨物量は変量となる。

## [2] モデル化(図1を参照)

i) モデル1における主要前提条件；①空港の後背圏をm個の地区に分割し各地区的発生・集中貨物量は与件とする。また各地区的位置は貨物量に関する重心点(地区重心)で表わすものとする。②ACCCTはただ一ヶ所に建設されるものとし、その候補地を各地区重心の中から1個選び出す。③各地区的発生・集中貨物は空港での取り扱いが不可欠なもの除去して、すべてACCCTを経由するものとする。(この前提はモデル1の場合だけでありモデル2では除かれる)④各地区重心とACCCTの間は個別輸送であり、そのルートに関しては複数目標を考慮したこととの矛盾を考えて代替性をもたせた。またACCCTと空港の間では大型車(18t車)による一括輸送が高速道路を用いて行われ、かつ、そのルートは与件とする。

ii) モデル1の定式化

(a) 貨物の流れに関する連続式(個別輸送について)

$$\sum_{i=1}^m \sum_{l=1}^2 x_{ir}^l = g_i^l \quad (i=1, 2, \dots, m) \quad (l=1, 2) \quad \dots (1)$$

ここで  $x_{ir}^l$ ：ルートYを経由して運ばれる地区iの方々の貨物量。  $l=1$  のときは発生貨物であり  $l=2$  のときは集中貨物である。  $g_i^l$ ：地区iにおける方向lの貨物量。

(b) 目標の制約化；本研究における各計画目標間の関係をはかる尺度として「総輸送費用」「総輸送時間」「トラック」字型効用閾数の形で規定すると次のように定式化され

① 総輸送費用について

$$\sum_{i=1}^m \sum_{r=1}^2 C_{ir}(x_{ir}^l/w_i^l) + \frac{2}{k} T \left( \sum_{i=1}^m g_i^l \right) / w^l - y_c + z_c = G_c \quad \dots (2)$$

$$\sum_{i=1}^m \sum_{r=1}^2 C_{ir}(x_{ir}^l/w_i^l) + \frac{2}{k} T \left( \sum_{i=1}^m g_i^l \right) / w^l \leq g_c \quad \dots (3)$$

② 総輸送時間について

$$\sum_{i=1}^m \sum_{r=1}^2 T_{ir}(x_{ir}^l/w_i^l) + \frac{2}{k} T \left( \sum_{i=1}^m g_i^l \right) / w^l - y_T + z_T = G_T \quad \dots (4)$$

$$\sum_{i=1}^m \sum_{r=1}^2 T_{ir}(x_{ir}^l/w_i^l) + \frac{2}{k} T \left( \sum_{i=1}^m g_i^l \right) / w^l \leq g_T \quad \dots (5)$$

③ トラック延走行台キロについて

$$\sum_{i=1}^m \sum_{r=1}^2 D_{ir}(x_{ir}^l/w_i^l) + \frac{2}{k} D \left( \sum_{i=1}^m g_i^l \right) / w^l - y_D + z_D = G_D \quad \dots (6)$$

$$\sum_{i=1}^m \sum_{r=1}^2 D_{ir}(x_{ir}^l/w_i^l) + \frac{2}{k} D \left( \sum_{i=1}^m g_i^l \right) / w^l \leq g_D \quad \dots (7)$$

④ 延手続き時間について

$$\sum_{i=1}^m \sum_{r=1}^2 T_{ir} \alpha_i^l x_{ir}^l - y_P + z_P = G_P \quad \dots (8)$$

$$\sum_{i=1}^m \sum_{r=1}^2 T_{ir} \alpha_i^l x_{ir}^l \leq g_P \quad \dots (9)$$

⑤ 各目標の達成度の均衡をはかるための条件式

$$y_c/x_c = y_T/\lambda_T = y_D/\lambda_D = y_P/\lambda_P \quad (\lambda = g - G \text{である}) \quad \dots (10)$$

ここで  $C_{ir}$ ,  $T_{ir}$ ,  $D_{ir}$ ；それぞれ地区iの貨物がルートYを経由して個別輸送されるときのトラック(2t車)1台当たりの運送費用、運送時間、運送距離である。 $\alpha_i^l$ ；それぞれ一括輸送におけるトラック(18t車)1台当たりの運送費用、運送時間、運送距離である。 $w_i^l$ ；地区iにおける方向lの貨物の個別輸送における平均積載重量。  $1/x_{ir}^l$ ；地区i、方向lの一件当たりの貨物量。

$w^l$ ；一括輸送における平均積載重量。  $y, z$ ；各目標の満足水準からのカイ離を示す補助変数。  $G, g$ ；各目標に開する満足水準および許容水準。

(c) 目的関数；各目標の満足水準からのカイ離を示す補助

変数等のうち任意の一つを最小化することにより各目標除き各目標を单一目標とするLPを解いて最適値を求める不達成度をGベクトルに沿って可能な限り小さくでき次に各候補地ごとにその値を比較して、その中の最も良い値を用いた。許容水準としてはACCCTがなくすべての貨物を空港へ個別輸送するときの値を用いた。(輸送ル

$$y_c \rightarrow \min \quad \dots (11)$$

iii) モデル2の定式化; モデル2においては各地区と空港間の個別輸送における貨物量が新たに変量となる。したがって定式化は次のようになる。

(a) 貨物の流れに関する連続式(個別輸送について)

$$\sum_i Z_{ir}^l + \sum_k U_{irk}^l = g_i^l \quad \dots (4)$$

ここで  $U_{irk}^l$ ; ルート  $r$  を経由して空港まで個別輸送される地区  $i$  の方向  $l$  の貨物量。

(b) 目標の制約化

① 総輸送費用について

$$\sum_{k=1}^m \sum_{i=1}^n C_{ir} (X_{ir}^l / w_i^l) + \sum_{k=1}^m C \left( \sum_{i=1}^n X_{ir}^l \right) / w_i^l + \sum_{k=1}^m \sum_{i=1}^n C_{ir}^* (U_{irk}^l / w_i^l) - Y_C + Z_C = G_C \quad \dots (2)$$

$$\sum_{k=1}^m \sum_{i=1}^n C_{ir} (X_{ir}^l / w_i^l) + \sum_{k=1}^m C \left( \sum_{i=1}^n X_{ir}^l \right) / w_i^l + \sum_{k=1}^m \sum_{i=1}^n C_{ir}^* (U_{irk}^l / w_i^l) \leq G_C \quad \dots (3)$$

ここで  $C_{ir}^*$ ; 地区  $i$  の貨物がルート  $r$  を経由して空港まで個別輸送されるときのトラック(2七車)1台当たりの運送費用である。

他の(4)~(7)式も同様に変わると、ここでは省略する。なお(8)式の目的関数はそのままである。

iv) ACCCT建設候補地の選定について; 既存の資料とともに各地重心の中から総輸送時間、総輸送費用、総輸送距離という3つの評価尺度に関するいざれも上位にある候補地を選び出し、それに対して都市計画、地域計画との適合性という観点からさらに検討を加えた。

v) 個別輸送における代替ルートの選定について; 輸送時間、輸送費用、輸送距離という3つの尺度に関して、いざれも上位10位以内にある輸送ルートを代替ルートとして取りあげた。なお本研究で得ようとしている情報の要件を考えれば、輸送ルートとしては上述の方法で選ばれた代替ルートを取りあげるだけで十分であろう。

さて以上の手順を含めた本研究全体のプロセスをフローチャートに示すと図2のようになる。

[3] 実証的分析について

上述の2つのモデルをK空港に対するACCCTの立地問題に適用し実証的分析を試みた。このとき用いた各目標に関する満足水準、許容水準および計算結果の一部を表1に示す。(モデル2を用いた計算結果は講演時に示す)なお満足水準としてはモデル1の目標に関する制約式を

除き各目標を单一目標とするLPを解いて最適値を求める。

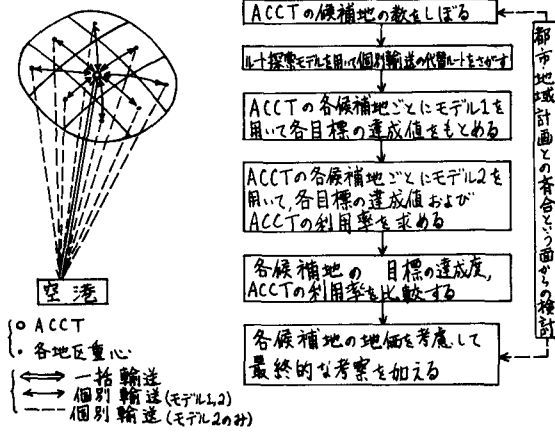
実証的分析の結果として次のことが言える。

① ACCCTを都心部あるいは都市周辺に建設することにより総輸送費用、総輸送時間、トラック延走行台キロ、延手続時間の減少ばかり期待できる。また各候補地ともACCCTの利用率は90%以上の高率となった。これらのこととは一括輸送による集約効果が大きいことの表われであろう。② E地区、W地区等の都市部は貨物の発生集中量が多く、そこでACCCTを建設すれば輸送の効率化を示す各目標の達成度は、M地区、R地区等の周辺部に建設したときよりも良くなる。しかし都心部は地価および用地の確保という面では逆に不利となる。なお実証

参考文献; 堀口健一「航空貨物シティターミナル(ACCCT)の立地問題への目標計画法によるアプローチ」

京都大学工学部 卒業論文 昭和53年

図1. モデルの概略図 図2. 本研究のプロセスを示すフローチャート



| 表1 各目標に関する満足水準、許容水準および達成値(モデル1) |            |           |                  |          |           |
|---------------------------------|------------|-----------|------------------|----------|-----------|
|                                 | 目標総輸送費用(円) | 目標輸送時間(分) | 目標延走行台キロ(延手続時間分) | 目標の達成度   | ACCCTの利用率 |
| 満足水準                            | 172,896    | 5518.26   | 3149.95          | 27229.7  |           |
| 許容水準                            | 672,702    | 21291.16  | 13007.17         | 147246.4 |           |
| E地区                             | 174.785    | 5746.23   | 3255.24          | 28/39.1  |           |
| W地区                             | 175.291    | 5695.59   | 33/3.21          | 29843.9  |           |
| N地区                             | 175.235    | 5731.51   | 3283.28          | 28307.1  |           |
| F地区                             | 177.463    | 5962.44   | 3448.72          | 31705.4  |           |
| M地区                             | 180.724    | 6438.62   | 3719.61          | 36143.4  |           |
| T地区                             | 178.928    | 6474.45   | 3585.94          | 34385.8  |           |
| A地区                             | 181.326    | 7031.01   | 3747.33          | 39198.2  |           |
| I地区                             | 180.986    | 7648.34   | 3748.39          | 43069.5  |           |
| R地区                             | 187.663    | 7394.80   | 4233.27          | 43770.5  |           |
| 現状                              | 282.854    | 19661.11  | 12295.61         | 138559.2 |           |